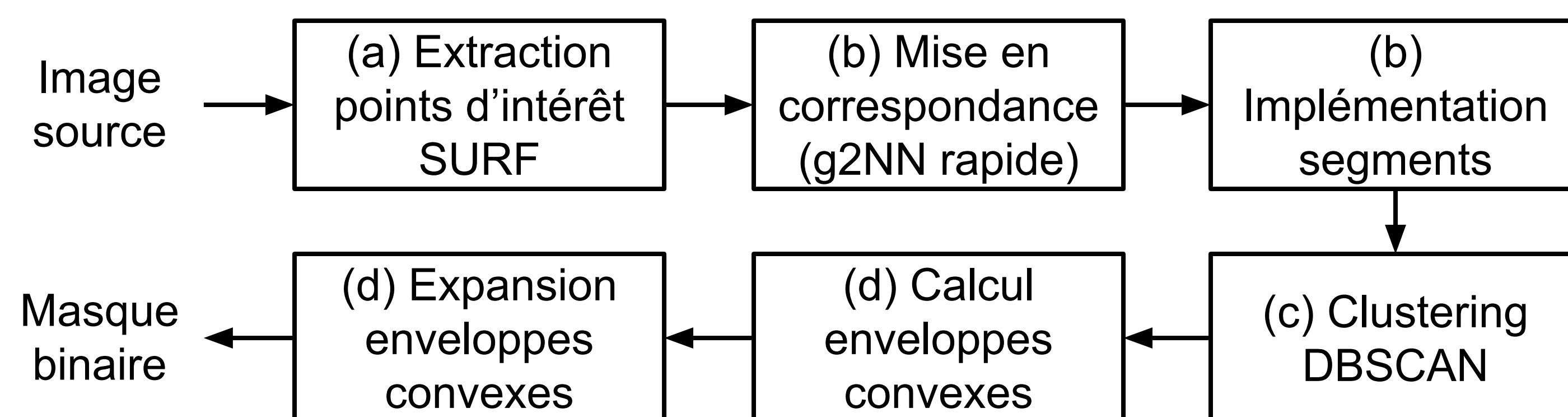


**COORDINATEUR : William Puech**

**PARTENAIRE : Université de Montpellier**

La méthode proposée est un détecteur de falsifications de type copié-déplacé basé sur l'utilisation des points d'intérêt. Celle-ci introduit un nouvel algorithme efficace d'appariement afin de pouvoir analyser rapidement de grandes images telles que des images 4K tout en détectant avec précision les différentes zones de falsifications.

**METHODE**



**(a) Extraction des points d'intérêt SURF**

A partir de l'image source, on extrait :

- $n$  points d'intérêts  $P = \{p_1, \dots, p_n\}$  classés selon leur orientation,
- $n$  orientations  $\Theta = \{\theta_1, \dots, \theta_n\}$ ,
- $n$  vecteurs caractéristiques  $F = \{f_1, \dots, f_n\}$ .

**(b) Mise en correspondance rapide**

Appariement des points d'intérêt dans les méthodes classiques : **complexité quadratique** ( $O(n^2)$ ).

**Idee** : Effectuer le test g2NN [10] seulement entre les points d'intérêt ayant une orientation similaire. On définit ainsi une **fenêtre d'angle** à l'aide d'un seuil  $\tau_\theta$ .

$$P = \{p_1, \dots, p_{l-1}, \underbrace{p_l, \dots, p_i, \dots, p_m}_{\{p_k \in P / |\theta_i - \theta_k| \leq \tau_\theta\}}, p_{m+1}, \dots, p_n\} \quad (1)$$

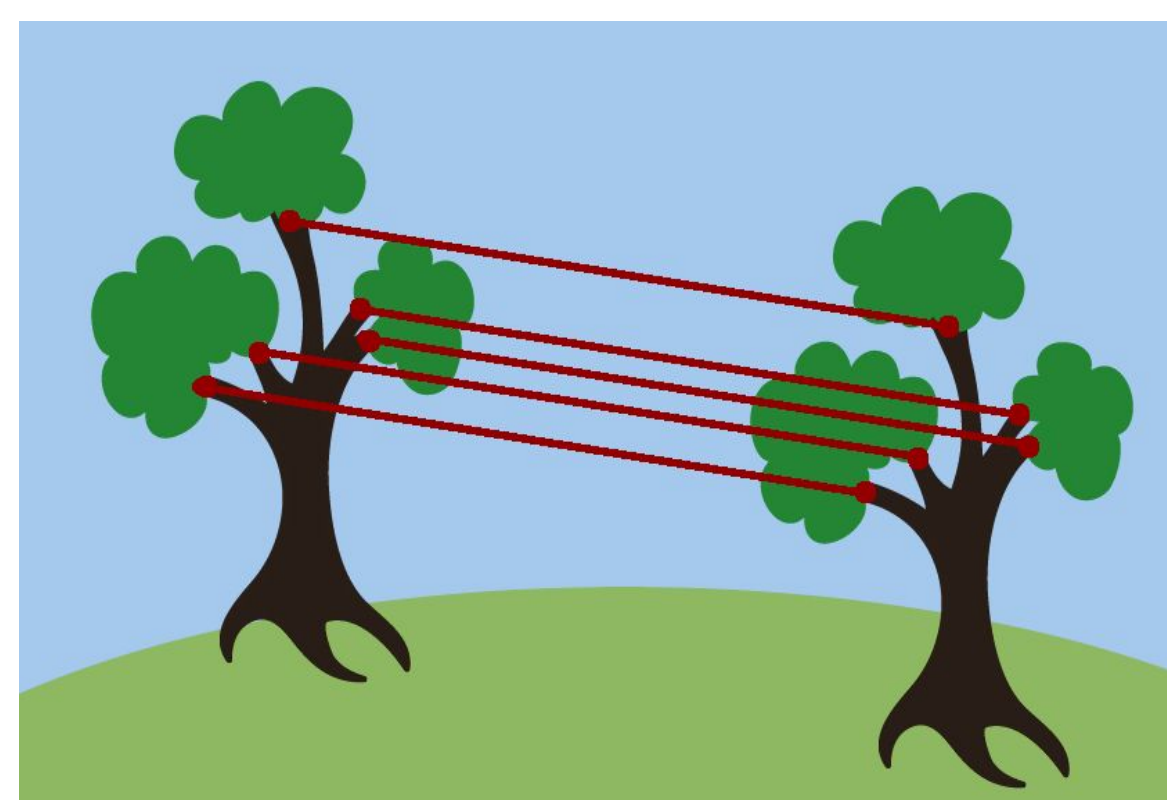
Un segment est implémenté pour chaque mise en correspondance, où les bornes sont les points appariés. Un segment est défini par son **point de départ** et son **point d'arrivée**.

**(c) DBSCAN**

Nous nous plaçons dans l'hypothèse de copié-déplacé ayant subi une **translation simple** ou une **faible rotation et/ou mise à l'échelle**.

Les segments liés à une même falsification:

- sont quasiment **parallèles**,
- sont quasiment de **même longueurs**,
- ont approximativement les **mêmes zones de départ et d'arrivée**.

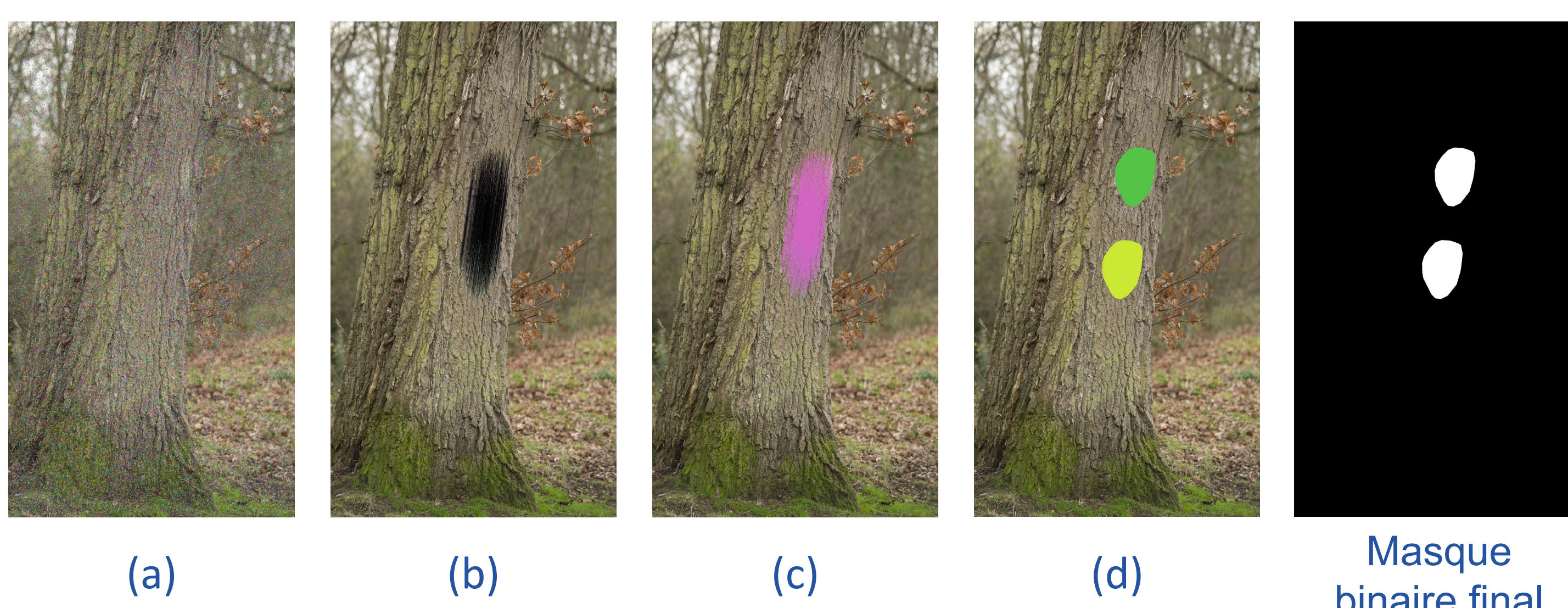


L'algorithme **DBSCAN** regroupe les segments liés à une même falsification dans un cluster grâce à une pseudo-distance adaptée. Les segments isolés (non liés à une falsification) sont éliminés.

**(d) Calcul enveloppe convexe et expansion**

Pour chaque cluster, les **enveloppes convexes** des points de départ et des points d'arrivée sont calculées puis **étendues** afin de générer le masque binaire final.

**RESULTATS : Détection d'une zone copiée-déplacée**

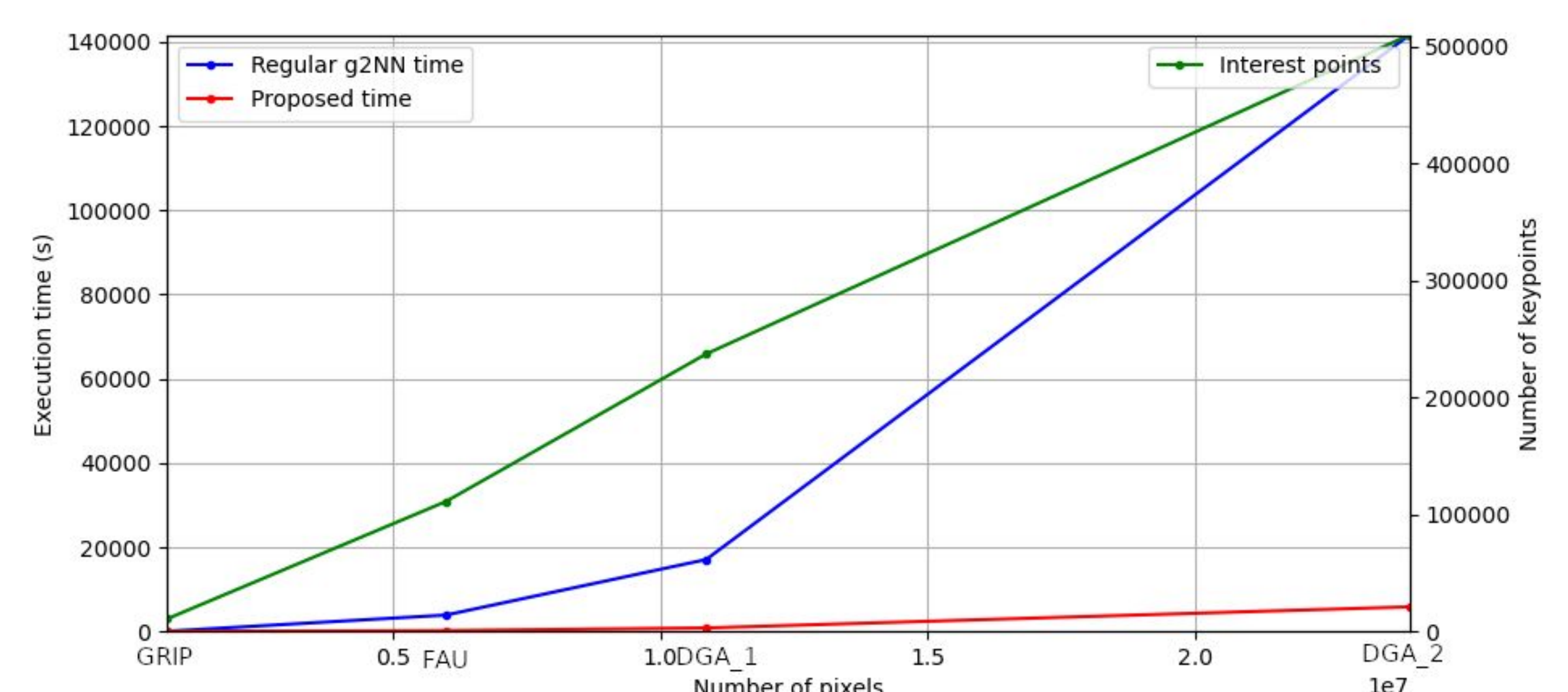


**RESULTATS : Comparaison avec l'état de l'art**

GRIP [2]		FAU [11]	
Méthodes	F1-score (Pixel)	Méthodes	F1-score (Pixel)
Cozzolino <i>et al.</i> [2]	0.9299	Huang <i>et al.</i> [3]	0.6354
Li <i>et al.</i> [4]	0.2774	Shivakumar and Baboo [7]	0.6954
Bravo <i>et al.</i> [1]	0.8482	Zandi <i>et al.</i> [9]	0.8607
Silva <i>et al.</i> [8]	0.6662	Li <i>et al.</i> [4]	0.7447
Zandi <i>et al.</i> [9]	0.6444	Pun <i>et al.</i> [6]	0.8997
Li <i>et al.</i> [5]	0.9466	Li and Zhou [5]	0.8838
Méthode proposée	0.9606	Méthode proposée	0.8963

**RESULTATS : Analyse du temps de calcul**

(temps en seconde)	Total	Pt. Int.	Appariement	Segm ents	Cluster	Env. Conv	Masque	Extension Mas.
g2NN	3880.18	1.625	3871.229	0	4.917	0	0	1.271
g2NN rapide	187.70	2.208	177.5	0	5.041	0	0	1.7916



**CONCLUSION**

**Méthode :**

- **Rapide** : Analyse rapide des images de grande taille telles que les images 4K
- **Performante** : Résultats comparables à ceux de l'état de l'art
- **Robuste** : Résultats peu dégradés lors d'une attaque par compression JPEG ou par ajout de bruit

**Axes de recherche :**

- Rendre la méthode robuste contre les **attaques géométriques** (rotation, mise à l'échelle ...)

**REFERENCES**

[1] S. Bravo-Solorio and A. K. Nandi, "Passive Forensic for detecting duplicated regions affected by reflexion, rotation and scaling", 2009 17th EUSIPCO, 2009.  
 [2] D. Cozzolino, G. Poggi, and L. Verdoliva, "Efficient dense-field copy-move forgery detection", IEEE Transactions on Information Forensics and Security, 2015.  
 [3] H. Huang, W. Guo, and Y. Zhang, "Detection of copy-move forgery in digital images using sift algorithm", 2008 IEEE Pacific-Asia Workshop on Computational Intelligence and Industrial Application, 2008.  
 [4] J. Li, X. Li, B. Yang, and X. Sun, "Segmentation-based image copy-move forgery detection scheme", IEEE Transactions on Information Forensics and Security, 2015.  
 [5] Y. Li, and J. Zhou, "Fast and effective image copy-move forgery detection via hierarchical feature point matching", IEEE Transactions on Information Forensics and Security, 2019.  
 [6] C.-M. Pun, X.-C. Yuan, and X.-L. Bi, "Image forgery detection using adaptive oversegmentation and feature point matching", IEEE Transactions on Information Forensics and Security, 2015.  
 [7] B. L. Shivakumar, and S. Santhosh Baboo, "Detection of region duplication forgery in digital images using surf", International Journal of Computer Science Issues, 2011.  
 [8] E. Silva, T. Carvalho, A. Ferreira, and A. Rocha, "Going deeper into copy-move forgery detection: exploring image telltales via multi-scale analysis and voting processes", Journal of Visual Communication and Image Representation, 2015.  
 [9] M. Zandi, A. Mahmoudi-Aznavah, and A. Talebpour, "Iterative copy-move forgery detection based on a new interest point detector", IEEE Transactions on Information Forensics and Security, 2016.  
 [10] I. Amerini, L. Ballan, R. Caldelli, A. Del Bimbo, and G. Serra, "A SIFT-Based Forensic Method For Copy-Move Attack Detection and Transformation Recovery", IEEE Transactions on Information Forensics and Security, 2011.  
 [11] V. Christlein, C. Riess, J. Jordan, C. Riess, and E. Angelopoulos, "An evaluation of popular copy-move forgery detection approaches", IEEE Transactions on information forensics and security, 2012

